



ҲАР ХИЛ СХЕМАДАГИ КРИВОШИП-ШАТУНЛИ МЕХАНИЗМЛАРНИНГ КИНЕМАТИКАСИНИ АНИҚЛАШ ВА УЛАРНИ БАҲОЛАШ

Исмаилов Одилбек Раимбаевич

To shkennet Kimej halqaro universiteti

e-mail: odilbek.ismailov.71@gmail.com

Аннотация. Ушбу мақолада анъанавий ва планетар кривошип-шатунли механизмларнинг кинематик схемалари келтирилган. Планетар кривошип-шатунли механизмлар параметрлари ўзгаришининг шатун кривошип каллаги траекториясига таъсири таҳлил қилинган. Бунда ҳар хил параметрлар учун траекториялар қурилган ва кривошип айланиш бурчагига мос нуқталарнинг геометрик ўринлари аниқланган. Шу билан бирга, планетар кривошип-шатунли механизмларнинг ички ва ташқи илашмаси учун конструктив схемаларининг ўзига хос томонлари назарий таҳлил қилинган. Анъанавий кривошип-шатунли механизм учун тирсакли вал айланиш бурчагига мос равишда поршень қўчиши, тезлиги ва тезланиши ҳисоб-китоб қилинган ва графиклари қурилган.

Калит сўзлар: ички ёнув двигателлари, кривошип-шатунли механизм, планетар механизм, ички илашма, ташқи илашма, узатишлар сони, планетар кривошип-шатунли механизм, гипоциклоида, эпициклоида.

Аннотация. Представлены кинематические схемы традиционных и планетарных кривошипно-шатунных механизмов. Приведены аналитические результаты влияния изменения параметров планетарных кривошипно-шатунных механизмов на траекторию нижней головки шатуна, построены траектории для разных параметров и найдены геометрические места точек по соответствующим углам поворота коленчатого вала. Анализированы своеобразности планетарных кривошипно-шатунных механизмов с внутренним и внешним зацеплением. Приведены расчетные данные и построены графики хода, скорости и ускорения поршня по углам поворота коленчатого вала для традиционных и планетарных кривошипно-шатунных механизмов.

Ключевые слова: двигатель внутреннего сгорания, кривошипно-шатунный механизм, планетарный механизм, внутреннее зацепление, внешнее зацепление, передаточное отношение, планетарный кривошипно-шатунный механизм, гипоциклоида, эпициклоида.

Abstract. This article presents the kinematic diagrams of conventional and planetary crankshaft mechanisms. The effect of changing the parameters of the planetary crankshaft

mechanisms on the trajectory of the crankshaft head was analyzed. Trajectories were constructed for various parameters and the geometric positions of the points corresponding to the rotation angle of rotation of the curve were determined. At the same time, specific aspects of the design schemes for internal and external coupling of planetary crankshaft mechanisms were theoretically analyzed. Piston displacement, speed, and acceleration were calculated, and drawn graphs according to the crankshaft rotation angle for the conventional crankshaft mechanism.

Keywords: internal combustion engine, crank mechanism, planetary gear mechanism, internal spur gears, external spur gears, gear ratio (velocity ratio), planetary crank mechanism, hypocycloid, epicycloid.

Асосий қисм:

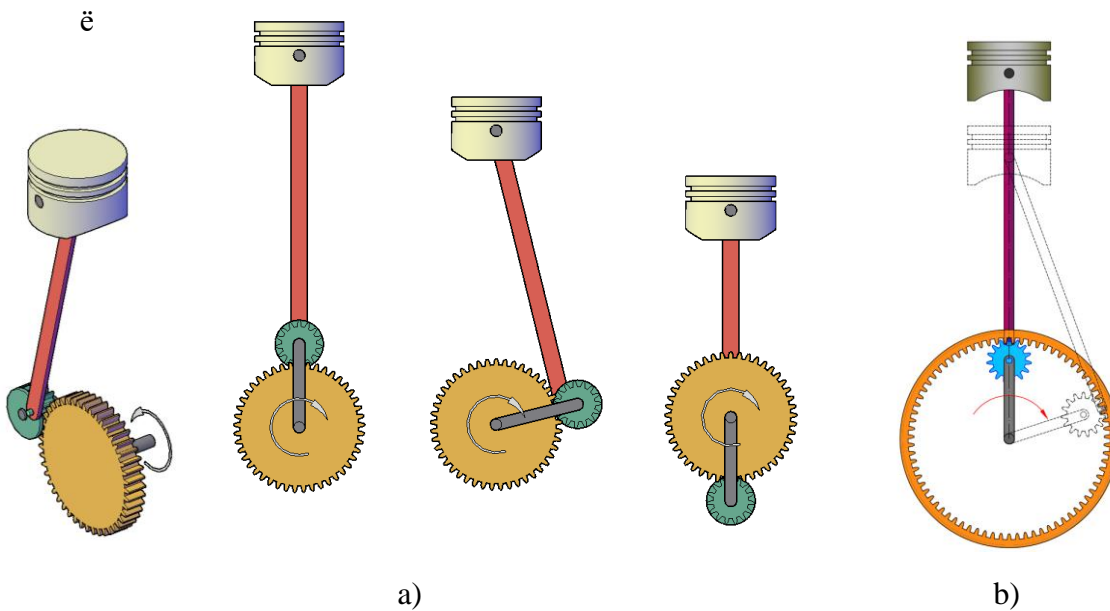
Ички ёнув двигателларида поршеннинг (ползуннинг) тўғри чизиқли ҳаракатини айланма ҳаракатга айлантириш учун ҳар хил механизмлар ишлатилади. Бундай механизмлар ичида энг соддаси кривошип-шатунли механизм бўлиб, улар поршенли ички ёнув двигателларида оммавий қўлланилади. Бу механизмларда кривошиппнинг айланиш доимий бурчак тезлигида поршень ҳар хил тезликда қайтма-илгариланма ҳаракат қиласди. Поршеннинг тезлиги унинг энг юқориги ва энг пастки ҳолатларида нолга тенг бўлиб, бошқа ҳар хил вазиятлардаги тезлиги кривошиппнинг айланиш бурчагига боғлиқ бўлади.

Кривошип-шатунли механизмни бирор геометрик параметрларга асосан кинематик таҳлили натижасида унинг асосий звенолари (асосан поршень ва шатун) ҳаракати қонуниятлари аниқланади. Ушбу параметрлар асосида аниқланган қонуниятлар эса кривошип-шатунли механизмни қандай ҳолатларда ишлатиш мумкинлигини белгилайди.

Поршень ҳаракати тезлиги юқориги ва пастки нуқталар оралиғида (бир цикл давомида) бир неча марта ўзгариши керак бўлган ҳолатларда кривошип-шатунли механизм ҳаракат қонуниятлари бу шартга мос келмайди. Бундай ҳолатларда ушбу механизмга қўшимча звенолар қўшиш ёки бошқа механизмалардан фойдаланиш орқали керакли ҳаракат қонуниятига эришиш мумкин.

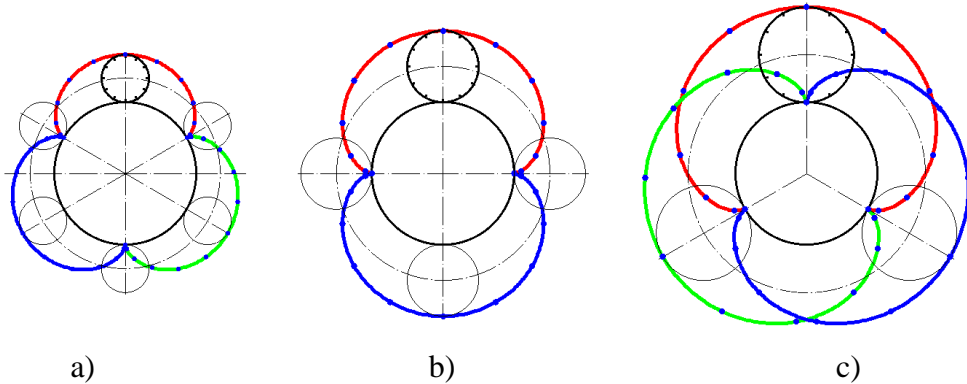
Бошқа механизмлар сифатида шатунли планетар механизмларнинг кинематик таҳлилини кўриб чиқамиз. Бу механизм марказий ғилдирак (солнечная шестерня) ва унинг атрофида айланувчи сателлитдан иборат бўлиб, поршень қайтма-илгариланма ҳаракати шатун орқали сателлитга узатилади (1-а расм). Шатун пастки ўқи сателит бўлувчи айланасига бириктирилганлиги учун шатуннинг кривошип каллаги сателлит ўқи атрофида айланма ҳаракат қиласди (траекторияси айланадан иборат), кривошип айланиш ўқига нисбатан ҳаракат траекторияси эса эпициклоида ёки гипоциклоидадан иборат бўлади ва бу траекториялар поршеннинг ҳаракати қонуниятини белгилайди (1-б расм). Бунда механизм водилоси кривошип вазифасини бажаради ва поршень қайтма-илгариланма ҳаракати водилонинг айланма ҳаракатига айланади.

Бу механизмда марказий ғилдирак (солнечная шестерня) тўхтатилган (эпициклоидал траектория) ёки ички тишли марказий ғилдирак тўхтатилган бўлиши мумкин (гипоциклоидал траектория).



1-расм. Шатун кривошип каллагы эпициклоидада (а) ва гипоциклоидада траекторияси (б) бүйича ҳаракатланувчи планетар кривошип-шатунлы механизмлар кинематик схемаси. Эпициклоидада ҳаракатда марказий, гипоциклоидада ҳаракатда ички тишли марказий ғилдирак тұхтатилған.

Маълумки, ушбу планетар механизмда узатишилар сони, яъни марказий ғилдирак (ёки ички тишли марказий ғилдирак) ва сателлитлар тишилари сони нисбати унинг асосий параметридир. Эпициклоидада ва гипоциклоидада траектория ҳосил қилувчи конструкцияларнинг механизмларидаги тишилар сони нисбатига қараб поршень тезлиги қонунийтлари ҳам ўзгаради (2-расм).

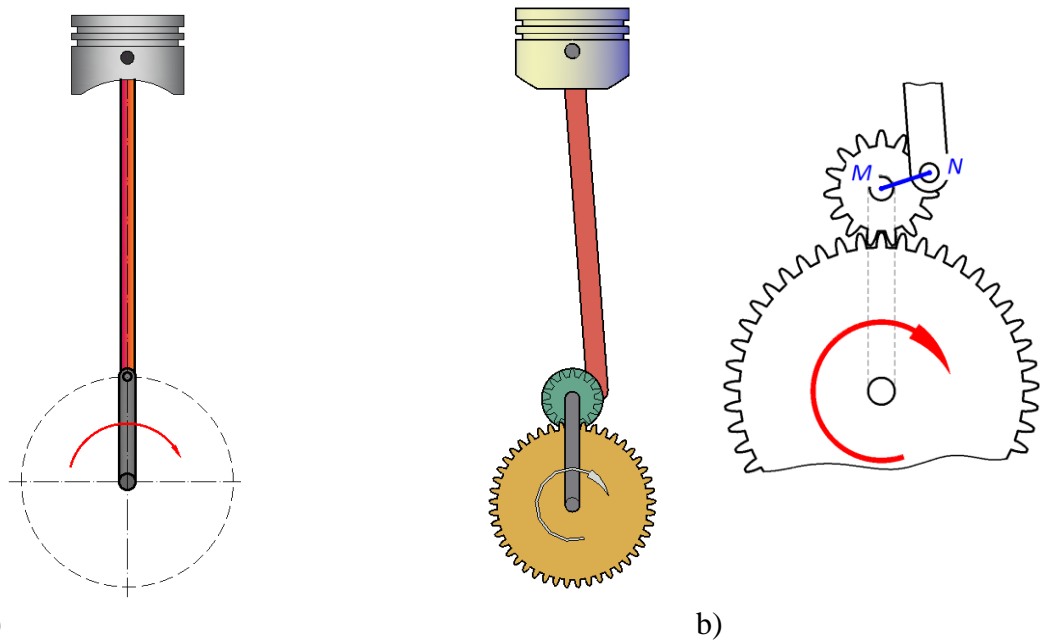


2-расм. Айлана диаметрлари нисбати ёки тишилар сони нисбати бүйича эпициклоидали траекториянинг ҳосил бўлиши;
a) $d_1=20, d_2=60$; b) $d_1=30, d_2=60$; c) $d_1=40, d_2=60$.

Анъанавий кривошип-шатунли механизмда поршеннинг юқориги ёки пастки чекки нуқталарида кривошипга таъсир қилувчи момент елкаси мавжуд эмас. Тирсакли вал айланиши ҳисобига елка узунлиги аста секин ошиб боради ва унинг қиймати 70^0-80^0 бурилиш бурчагида максимал қийматга етади. Бу механизмларда момент елкаси узунлигининг цилиндрдаги босимнинг ошиш интенсивлигига мос келмаслиги ва поршеннинг юқориги ва пастки нуқталарига яқин фазаларида бу елканинг жудаям кичиклашиши ёниш энергиясидан эффектив фойдаланиш имконини бермайди (3-расм, а)).

Планетар кривошип-шатунли механизмларда поршеннинг юқориги ёки пастки чекка нуқталарида момент елкасини ҳосил қилиш мумкин. Шу билан бирга механизмни ташқи ёки

ички илашмада ишлатиш (эпициклоида ёки гипоциклоида), узатишлар сонини ўзгартыриш (тишлари сонини ўзгартыриш) хисобига поршеннинг ҳаракати қонуниятларини цилиндрдаги босим ошиш интенсивлигига мослаштириш билан бу механизмларни ишлатиш имкониятларини оширади (3-расм, b)).



3-расм. Поршеннинг юкориги чекка нүктасида ($\varphi = 0^0$) анъанавий (расм, а)) ва планетар (расм б)) кривошип-шатунли механизмлардаги момент елкалари; MN – планетар механизмда момент елкаси узунлиги.

Солишириш учун анъанавий кривошип-шатунли механизм кинематик таҳлилини кўриб чиқамиз. Поршень ўки силжитилмаган (аксиал ўқли), марказий кривошип-шатунли механизм қуйидаги геометрик параметрларга эга:

r – тирсакли вал кривошипи радиуси;

$l_{\text{ш}}$ – шатун узунлиги;

λ – кинематик ўхшашлиқ критерийси бўлиб, бу қуйидагича аниқланади:

$$\lambda = r/l_{\text{ш}} \quad (1)$$

(ички ёнувдвигателларида асосан $\lambda = 0.24 \dots 0.31$ оралиғида олинади).

Кривошип-шатунли механизмда ползун (поршень) қайтма-илгариланма, кривошип (тирсакли вал) айланма, шатун эса мураккаб – тепа поршень каллаги цилиндр ўки бўйлаб қайтма-илгариланма, пастки кривошип каллаги эса кривошип ўқига ва шатун бўйни ўқига нисбатан айланма ҳаракат қиласи.

4-расмдан кўринадики, кривошиппинг ўки ва поршень бармоғи ўки орасидаги масофа:

$$- \text{ кривошип } \varphi \text{ бурчакга бурилганда: } OA = l_{\text{ш}} \cos \beta + r \cos \varphi ; \quad (2)$$

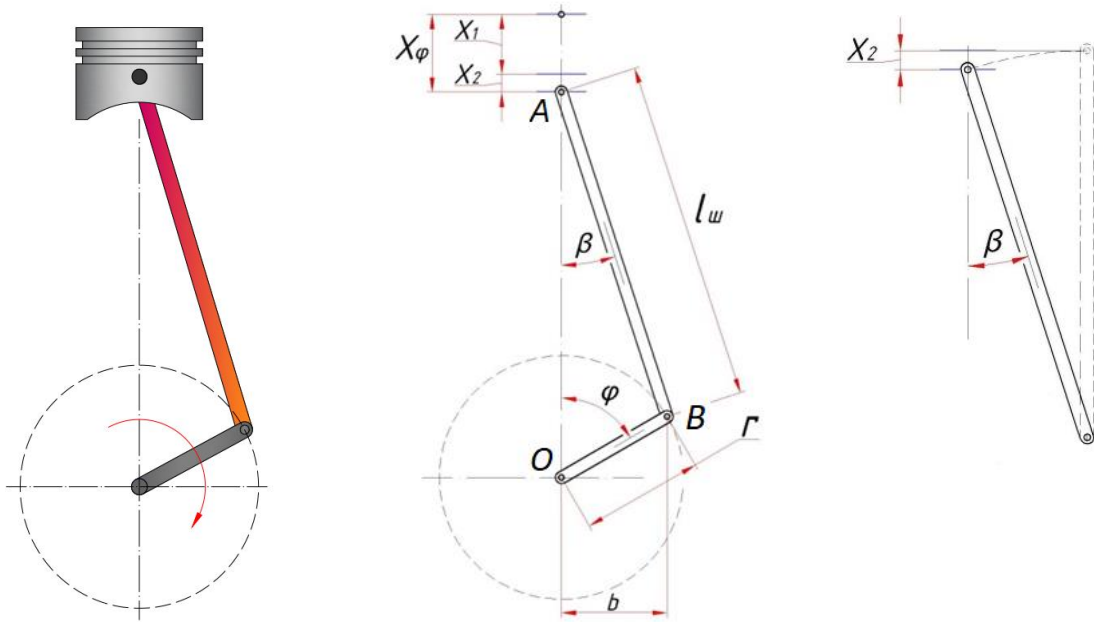
$$- \text{ поршень юкориги чекка нүктада бўлганида: } OA = l_{\text{ш}} + r ; \quad (3)$$

Шунга асосан, кривошип φ бурчакга бурилганда поршеннинг умумий кўчиши (босиб ўтадиган йўли):

$$X\varphi = l_{\text{ш}} + r - OA ; \quad (4)$$

ёки, буни қуйидагича ифодалаш мумкин:

$$X\varphi = X_1 + X_2 ; \quad (5)$$



4-расм. Тирсакли валнинг φ бурчакга бурилиши ҳисобига ва шатуннинг β бурчакга бурилиши ҳисобига поршеннинг кўчиши.

Бу ерда,

$$X_1 = r(1 - \cos \varphi); \quad (6)$$

$$X_2 = l_w(1 - \cos \beta). \quad (7)$$

X_1 – кривошиппининг φ бурчакга бурилиши ҳисобига поршеннинг кўчиши,

X_2 – шатуннинг β бурчакга бурилиши ҳисобига поршеннинг кўчиши.

У ҳолда:

$$X\varphi = r(1 - \cos \varphi) + l_w(1 - \cos \beta); \quad (8)$$

$$\text{ёки, } X\varphi = r[(1 - \cos \varphi) + \frac{1}{\lambda}(1 - \cos \beta)]; \quad (9)$$

Кривошип-шатунли механизм кинематикаси ҳисбини кривошиппининг (тирсакли валнинг) бурилиш бурчаги φ га нисбатан таҳлил қилишимиз керак. Шунинг учун юқоридаги формулада кривошиппининг бурилиш бурчагини асосий ўзгарувчи параметр сифатида қолдирамиз. 4-расмдан кўриш мумкинки:

- шатуннинг бурилиш бурчагига нисбатан: $b = l_w \sin \beta$,
- тирсакли валнинг бурилиш бурчагига нисбатан: $b = r \sin \varphi$.

У ҳолда,

$$l_w \sin \beta = r \sin \varphi \Rightarrow \sin \beta = \frac{r}{l_w} \sin \varphi \quad (10)$$

ёки (1) га асосан,

$$\sin \beta = \lambda \sin \varphi; \quad (11)$$

Шунинг учун:

$$\sin^2 \beta + \cos^2 \beta = 1 \Rightarrow \cos \beta = \sqrt{1 - \sin^2 \beta} = \sqrt{1 - \lambda^2 \sin^2 \varphi}; \quad (12)$$

Поршеннинг умумий күчиш тенгламаси (9) га юқоридаги 12-тенгламани тадбик қилиш орқали қуидаги тенгламани келтириб чиқарамиз:

$$X\varphi = r \left[(1 - \cos \varphi) + \frac{1}{\lambda} \left(1 - \sqrt{1 - \lambda^2 \sin^2 \varphi} \right) \right]; \quad (13)$$

Ушбу тенгламадаги $\sqrt{1 - \lambda^2 \sin^2 \varphi}$ ифодани соддалаштириш мақсадида Маклорен қаторига қуидагича ёйамиз:

$$\sqrt{1 - \lambda^2 \sin^2 \varphi} = 1 - \frac{1}{2} \lambda^2 \sin^2 \varphi - \frac{1}{8} \lambda^4 \sin^4 \varphi - \frac{1}{16} \lambda^6 \sin^6 \varphi - \frac{5}{128} \lambda^8 \sin^8 \varphi - \dots \quad (14)$$

Автотрактор двигателлари қривошип-шатунли механизмлари учун $\lambda = 0.24 \dots 0.31$ оралиғида бўлиши мумкинлигини ҳисобга оладиган бўлсак:

$$\frac{1}{2} \lambda^2 = 0,0288 \dots 0,048;$$

$$\frac{1}{8} \lambda^4 = 0,000415 \dots 0,0011544;$$

$$\frac{1}{16} \lambda^6 = 0,000012 \dots 0,0000555;$$

$$\frac{5}{128} \lambda^8 = 0,00000043 \dots 0,0000033; \dots$$

Ушбу қийматлар жудаям кичик ва $\sin \varphi \leq 1$ бўлганлиги учун, 3-ҳаддан кейинги ҳадларнинг қиймати жудаям кичрайиб (нолга яқинлашиб) боради. Шунинг учун ҳисобкитобларда фақат биринчи ва иккинчи ҳадни ишлатиш етарли бўлади. У ҳолда (14) ифода қуидаги кўринишга келади:

$$\sqrt{1 - \lambda^2 \sin^2 \varphi} \approx 1 - \frac{1}{2} \lambda^2 \sin^2 \varphi; \quad (15)$$

У ҳолда, юқоридаги (13) тенглама кўриниши ҳам қуидагича бўлади:

$$X\varphi = r \left[(1 - \cos \varphi) + \frac{1}{2} \lambda \sin^2 \varphi \right]; \quad (16)$$

Тенгламадаги ўзгарувчилар кўринишини бир хиллаштириш ва даражани йўқотиш учун тригонометрик формуладан фойдаланамиз ва юқоридаги тенгламани қайта ёзамиз.

$$\sin^2 \varphi = \frac{1 - \cos 2\varphi}{2} \text{ га асосан (16) тенгламанинг натижавий кўриниши:}$$

$$X\varphi = r \left[(1 - \cos \varphi) + \frac{\lambda}{4} (1 - \cos 2\varphi) \right]; \quad (17)$$

Поршень тезлиги.

Поршень кўчишининг вақт бўйича биринчи тартибли ҳосиласи орқали унинг тезлигини аниқлаймиз. Бу ерда асосий ва ягона ўзгарувчи тирсакли валнинг бурилиш бурчаги бўлганлиги учун:

$$V\varphi = \frac{dx_\varphi}{dt} = \frac{dx_\varphi}{d\varphi} \cdot \frac{d\varphi}{dt};$$

Шунинг учун, (17) тенгламадан биринчи тартибли ҳосила:

$$V\varphi = r\omega (\sin \varphi + \frac{\lambda}{2} \sin 2\varphi); \quad (18)$$

Поршень тезланиши.

Поршень тезлигининг вақт бўйича биринчи тартибли ҳосиласи (ёки поршень кўчишининг вақт бўйича иккинчи тартибли ҳосиласи) унинг тезланишини аниқлаймиз. Бу ерда ҳам асосий ўзгарувчи сифатида тирсакли валнинг бурилиш бурчаги қаралади.

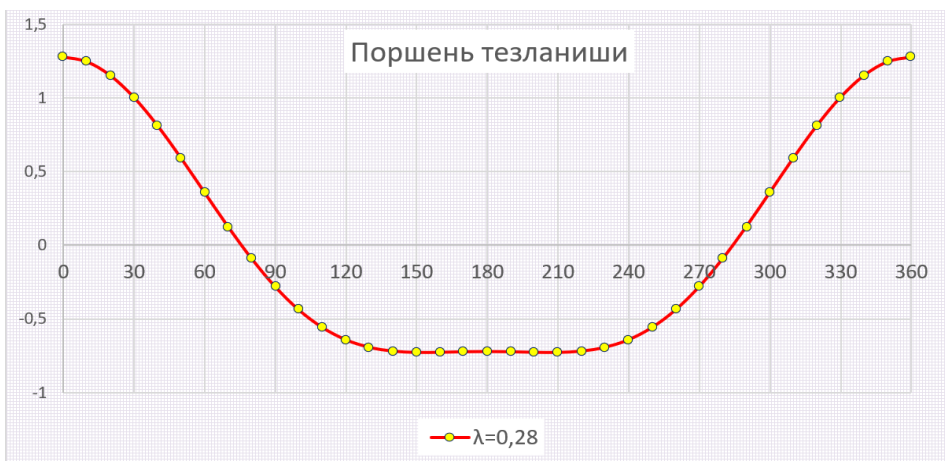
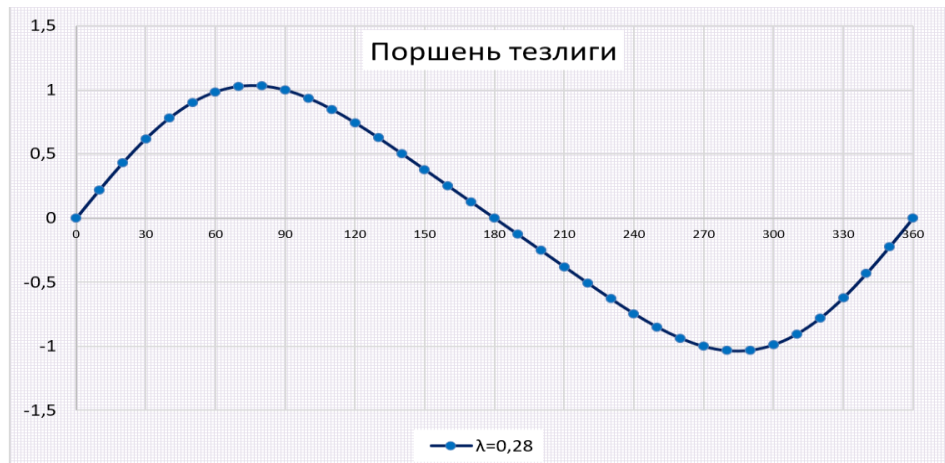
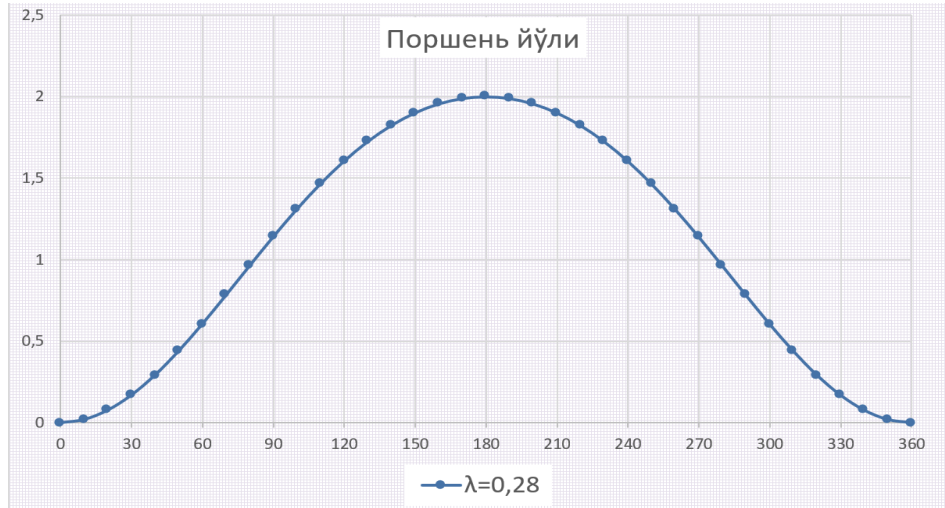
$$J\varphi = \frac{dV\varphi}{dt} = \frac{dV\varphi}{d\varphi} \cdot \frac{d\varphi}{dt},$$

Шунинг учун:

$$J\varphi = r\omega^2 (\cos \varphi + \lambda \cos 2\varphi); \quad (19)$$

Хисоб-китобларда шартли равища кинематик ўхшашлик критерийсининг ўртача қийматини оламиз, яъни: $\lambda = 0.28$.

Юқоридаги тенгламаларга асосан поршень йўли, тезлиги ва тезланишининг кривошип бурилиш бурчагига боғлиқлик графиклари куйидагича бўлади:



Хуносалар:

Анъанавий кривошип-шатунли механизм поршень кинематикаси таҳлилидан кўринадики, бу кўрсаткичлар фақат кривошип бурилиш бурчагига боғлиқ равища текис ўзгаради ва ҳар бир циклда бир хилда такрорланади.

Планетар кривошип-шатунли механизмда поршеннинг қайтма-илгариланма ҳаракатини тирсакли вал айланма ҳаракатига айлантиришда газ босимидан эффектив фойдаланишнинг куидаги техник ечимларига эришишга олиб келади:

- планетар механизм тишлари сони нисбатини ўзгартириш ҳисобига шатуннинг пастки кривошип каллагининг ҳаракати траекториясини ўзгартириш имконияти;
- ёниш жараёнидаги цилиндрдаги босим ошиш жадаллигига мос поршень тезлиги ва ҳаракати қонуниятларини танлаш имконияти пайдо бўлади;
- поршеннинг пастки ва юқориги чекка нуқталарида ва циклнинг унга яқин фазаларида тирсакли валга шатун орқали узатиладиган (ёки аксинча) куч момент елкасини мос равишда танлаш имконияти пайдо бўлади;
- Ёниш жараёнининг оралиқ фазаларида поршень тезлигини ўзгартириши орқали цилиндрдаги газ босимининг поршенга таъсиридан эффектив фойдаланилади.

Планетар кривошип-шатунли механизмни қўллашдан асосий мақсад поршень тезлигини газ босими ошиш тезлиги билан мутаносиб ўзгаришига эришиш орқали механизмдан эффектив фойдаланишга, ички ёнув двигателларининг фойдали иш коэффицентини ва солиштирма қувватини оширишга эришишdir.

АДАБИЁТЛАР:

1. Расчет автомобильных и тракторных двигателей. А.Н. Колчин, А.П. Демидов. - М.: Высшая школа, 2008. – 496 с.
2. Двигатели внутреннего сгорания: теория, моделирование и расчёт процессов. Б. А. Шароглазов М. Ф. Фарафонов В. В. Клементьев. Учебник по курсу «Теория рабочих процессов и моделирование процессов в двигателях внутреннего сгорания». – Челябинск: Изд. ЮУрГУ, 2005. – 403 с
3. Кинематические и динамические параметры кривошипно-шатунного механизма двигателя внутреннего сгорания. Чукалов М. Ю., Семизельников Р.С., Паничкин А.В. Современные материалы, техника и технологии, №2 (23), 2019.
4. Определение и оценка крутящего момента в двигателях внутреннего сгорания с различными схемами кривошипно-шатунного механизма. Грабовский А. А. Известия высших учебных заведений. Поволжский регион. Технические науки. – 2012. – № 3 (23). – С. 139–146.
5. Расчётные исследования кинематики и динамики рядного бензинового двигателя в системе Mathcad. В. В. Рындин, В. В. Шалай, Ю. П. Макушев. Вестник СибАДИ, выпуск 1 (35), 2014.